

洞岡第3高炉の焼結鉱使用割合は45%であり、かつ当工場は、焼結鉱の使用を均等にすればほぼ同割合を示すため、その期間の実績と焼結鉱高配合試験に先だつ均等使用時の昭和32年度の同高炉の実績と比較検討し、その結果を全高炉に適用した。比較検討にあたつては、特異期間は削除し、コークス灰分、雑原料使用量、焼結鉱使用割合、送風温度、鉱石平均鉄分の操業条件はそれぞれ補正し、向上率は鉱石破碎、節分焼結鉱の石灰添加、品質などの向上とみなした。

その比較はFig. 15のようである。

出銑量

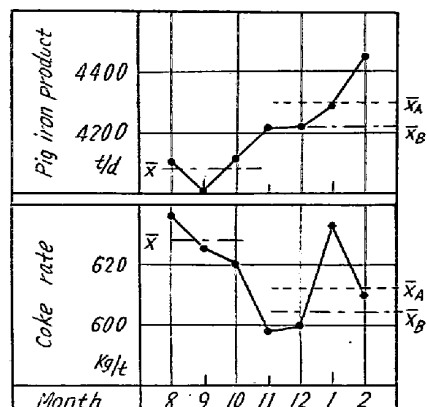


Fig. 15. Trends of pig iron production and coke ratio during 7 months.

昭和32年度と昭和33年8月～10月の洞岡第3高炉の実績を比較すると、補正した操業条件によれば出銑量の差はなく、昭和33年11月～34年2月までの期間を全高炉均等に使用したと推定すれば4,215 t/dである。一方集中使用実績は4,297 t/d、約2%の出銑量の増加となつてているようである。

コークス比

同様に補正し均等に使用したと推定すれば、コークス比は603 kg/tで集中使用実績は601 kg/tであり、約1%のコークス比上昇となつてているようである。

以上は操業条件の補正法にかなり検討の要があり、一面からの推定に過ぎず、比較期間の出銑量、コークス比の変動を考えれば有意な差があるとは断定できない。均等使用時に比し集中使用時は棚、スリップ回数は増加の傾向にあり、この問題については、鉱石処理により解決すべきであろう。また集中使用高炉は焼結鉱使用の特性により熱風炉の能力大なるものを選び、熔銑処理能力の強化を計ること、さらに自熔性焼結鉱の製造技術の検討により成品原価を切下げるなどの点で、今後さらに検討を重ねる所存である。(昭和35年1月寄稿)

含チタンスラグー溶銑間の還元反応と酸化チタンの挙動*

森 一 美**

Reduction Reactions between Molten Slags Containing Titanium-Oxide and Pig Iron and the Behavior of Titanium-Oxide.

Kazumi Mori

Synopsis:

The author studied the reduction of titanium and silicon from the slags of the system $\text{CaO}-\text{SiO}_2-\text{TiO}_2$ (TiO_2 15, 25, 35%; CaO/SiO_2 0.5~1.3) into carbon-saturated iron in a graphite crucible at 1550°C. The duration of each study was 75 minutes during which metal and slag samples were taken at 10 or 15 minutes intervals. $K_{\text{Ti},\text{Si}} = \{\text{[Ti]}(\text{Si})\}/\{(\text{Ti})(\text{Si})\}$ was determined from the analyses. It was found that a certain time had elapsed before the quasi-equilibrium state was attained, when $K_{\text{Ti},\text{Si}}$ reached a constant value. This constant $K_{\text{Ti},\text{Si}}$ is termed the index number of the quasi-equilibrium state.

The influence of slag compositions upon the contents of titanium and silicon in the iron at the same time of reduction was somewhat complicated, except that the titanium was increased with the increase of titania in the slag and the silicon was decreased with increase of CaO/SiO_2 . On the contrary, it was presumed that the relationship between the index number $K_{\text{Ti},\text{Si}}$ and slag compositions was definitely established.

* 昭和34年4月本会講演会にて発表 ** 茨城大学工学部金属工学教室

At the constant titania contents the index number $K_{Ti, Si}$ was increased with increase of CaO/SiO_2 and at the const. CaO/SiO_2 it was decreased as titania was increased. Then, $(CaO)/\{(SiO_2) + f_T(TiO_2)\}$ or B_L , which the author had recently given as a new scale of basicity, was taken as the basicity of the slag, and $K_{Ti, Si}$ was plotted against the basicity. It was shown by this plot that all the points representing slags of different titania contents lay along the same line, and $K_{Ti, Si}$ was increased with increase of the basicity.

The contents of Ti_2O_3 in the slags was decreased with increase of CaO/SiO_2 . It was established as a rule that in the slags containing the oxide of a transition metal such as Fe, Cr or Ti the concentration of cations with higher valency was increased with increase of slag basicity.

Furthermore, by studying the practical data of titaniferous iron sand smelting in an electric furnace, it was indicated that the reduction of each element was controlled by the common degree of reduction. It was found that $K_{Ti, Si} = 0.658$ ($\sigma = 0.097$) in the range of slag basicity $B_L = 0 \sim -1.0$.

I. 緒 言

周知のように含チタン砂鉄を製鉄原料として溶鉄炉に使用した場合、難溶融のチタンの炭化物、窒化物を生じ操業に大きな困難をもたらすため砂鉄の装入量はきわめて限られているが、一方現在わが国では電気炉により砂鉄単味で製錬する方法が工業的に確立されている。それについて製錬の基礎をなす含チタンスラグ一溶鉄間反応の物理化学的研究は今なおきわめて不十分である。

本研究は含チタン砂鉄の製錬上最も重要である $CaO-SiO_2-TiO_2$ 系スラグから溶鉄への Ti, Si の還元反応の実験を行ない、著者が最近明らかにした TiO_2 の酸塩基の性質を取り入れて考察を加え、該反応系における酸化チタンの挙動を明確にしようとした。なおこれに関連して実際の製錬反応も若干考察した。

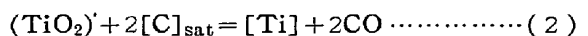
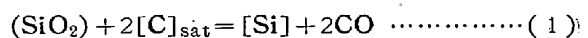
II. 研究方針

含チタンスラグから溶鉄への Ti, Si の還元反応については Faust¹⁾ や Mehta, Paranjpe²⁾ の溶鉄炉操業試験の結果をとりまとめた報告があるが、系統的な実験室的研究としては Wentrup, Maetz, Heller³⁾ の報告のみである。この研究は $CaO-SiO_2-TiO_2$ 系スラグと溶鉄との間で反応を行なわせ、Si, Ti の還元量、脱硫に対する温度およびスラグ組成の影響を調べたものであるが、その結果にはらつきが大きく、スラグ組成の影響も十分明らかにされていない。

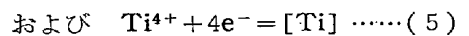
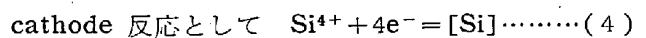
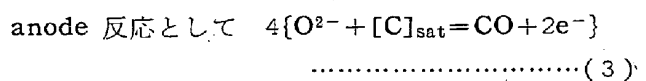
含チタンスラグ一溶鉄間の Ti, Si の還元反応では普通の意味の平衡論的研究がきわめて困難である。これは還元反応速度がおそらく平衡到達までに長時間を要するとともに、その間に $TiO_2 \rightarrow Ti_2O_3 \rightarrow TiO$ の還元や TiC の生成反応がどんどん進行し、しかも Ti の銑鉄への溶解度が低く、銑鉄が TiC 飽和の状態になつてしまうからである。したがつて本問題は Ti と Si の二つの還元

反応を相互に coupling を行なう同時反応と考え、その還元の進行途中を補えなければならない。

この還元反応式はつきのとおりである。



ただしスラグ中の酸化チタンは TiO_2 の形であると考える。これを電気化学的な式に直せばつぎのようになる。



(4), (5) の cathode 反応について電極電位をそれぞれ E_1, E_2 とすれば $E_1 = E_2$ である。さらに活量の代りに濃度をとれば、

$$E_1 = E_{eq,1} - \pi_1 = _0E_1 + (RT/4F) \ln(Si^{4+})/[Si] - \pi_1 \quad \dots \dots \dots \quad (6)$$

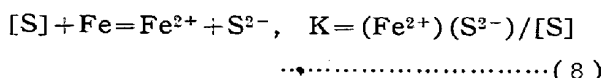
$$E_2 = E_{eq,2} - \pi_2 = _0E_2 + (RT/4F) \ln(Ti^{4+})/[Ti] - \pi_2 \quad \dots \dots \dots \quad (7)$$

ただし、 $E_{eq,1}, E_{eq,2}$ はそれぞれ平衡電位、 π_1, π_2 は過電圧である。

以上の電気化学的な反応のうちで、常に anode 反応として進む (3) 以外はすべて金属とスラグの二相にのみ関係するものである。このような反応は相互に平衡関係に近づくように、あるいは平衡を維持するようにして進行するはずである。

これについてはたとえば Ramachandran など⁴⁾は熔鉄炉スラグと溶鉄の間の脱流反応にともなつて起る各成分の変化を調べているが、この場合最初 $[S] \rightarrow S^{2-}$ のほかに $Fe \rightarrow Fe^{2+}$ がおこり、しかも Fe^{2+} ないしは (FeO) が $Pco = 1at$ 、C 飽和溶鉄における平衡濃度以上に増加することをみいだしている。これはつきの式で示されるような平衡関係を保たんとして反応が進行するためであ

一〇



また McCoy, Philbrook⁵⁾ は含 Cr の CaO-SiO₂-Al₂O₃ 系スラグから溶銑への Cr 還元の速度論的研究を行つてゐるが、(Cr)=O から出発したとき、Si の還元反応との間の coupling により最初はかえつて [Cr] →(Cr) が起ることがみいだされ、スラグ—メタル間で平衡を保たんとする要求のあることが示されている。

以上の考察によつて二つ以上の同時反応がスラグ—溶銑間で完全に平衡を保ちつつ進行するような理想的な状態が規定されるわけで、これが擬平衡状態である。このときはたとえば Ti, Si の還元反応がスラグ—溶銑間で擬平衡状態を保ちつつ進行するとすれば、与えられたスラグについてはつきの式の K は一定値をもつ。

実際には

$$\{[\text{Ti}](\text{Si})\}/\{(\text{Ti})[\text{Si}]\} = K_{\text{Ti}, \text{Si}} \quad \dots \dots \dots \quad (10)$$

のように表わす。この $K_{Ti, Si}$ が擬平衡状態の指数である。還元反応はこの状態に近づくように進行するはずである。実験にあたりまずこの擬平衡状態が存在するかどうかを確かめようとした。

つぎに問題になるのは溶銑中の Ti の溶解度である。従来から TiC が容易に生成するところからみてこの Ti の溶解度はかなり低いものと考えられていた。

Houdremont⁶⁾ は銑鉄を溶かし、それに Ti を添加してゆき、Ti が約 0.5% 以上になると表面に析出物が現われ、これが TiN を 5% 程度含んだ TiC であることを観察している。また Wentrup ら³⁾は Fe-Fe₃Ti-TiC-Fe₃C 系の状態図や Houdremont の研究からみて Ti 0.5% を限度としてそれ以下の Ti% のところを取り扱うならば TiC 過飽和の危険はないものとしている。

ごく最近 Delve⁷⁾ は炭素飽和鉄中の Ti の溶解度を急冷試料についての酸溶解性の Ti 量から求め、CO 霧囲気中では 1500~1600°C で 0.27~0.30% と与えている。しかし Bishop⁸⁾ はこの Delve の求めた値は低すぎるとの反論している。

このように炭素飽和溶銑中の Ti の溶解度は未だ確定されていないが、本研究の場合は Ti のほかに Si が共存しているから Ti の溶解度は Si によつても変化するはずである。したがつて厳密には Ti の溶解度として唯一つの値を与えることはできないわけである。

ところで Wentrup ら³⁾の結果でばらつきが大きいの

は後述のように還元進行度の複雑な影響のほかに 0・5% という値が場合によつては Ti の過飽和の状態になつて いるためではないかとの懸念をもつ。したがつてここでは一応 Delve の結果にしたがい、擬平衡状態の指数と してはすべて [Ti] 0・3%以下のものをとるやうにした。

つぎに反応系は強還元性の条件下にあるため、 TiO_2 のほかに Ti_2O_3 が生成し、 Ti への還元は TiO_2 , Ti_2O_3 の共存状態で進行するはずである。したがつて(10)式は厳密な意味では当然問題であるが、ここでは一応スラグ中の Ti はすべて TiO_2 の形にあるものとみなして取り扱い、 Ti_2O_3 の生成は V. で取りあげることにした。

III. 実験方法

タンマン炉を用い黒鉛坩堝中に試料を溶解し還元反応を行なわせた。装置はFig. 2。

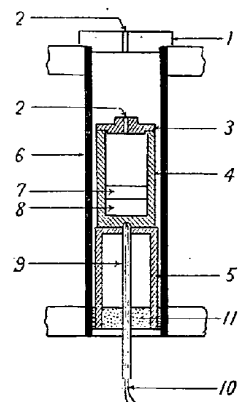
1に示した。黒鉛坩堝は外径 50、内径 38、深さ 90 mm の大きさで、これを発熱体内のアランダム台上におき、坩堝の底部には深さ 4 mm の孔をあけ、その中に Pt-Pt·Rh 熱電対を入れた保護管を差し込んで測温する。坩堝には中心に径 4 mm の孔のあいた黒鉛製の蓋をかぶせる。

実験に供したスラグの組成は Table 1 に示したように TiO_2 を 15, 25, 35% の三通りにし, CaO/SiO_2 を変えたものである。スラグ試料はタンマン炉で黒鉛坩堝で溶かし, 粉砕し, 約

1000°C に加熱酸化したものがである。

還元実験にあたつてはあらかじめ坩堝内が1560～1570°C になるように温度を上げておき、C飽和鉄 150 g とスラグ 50 g を入れ、同時に温度をなるべく迅速に1550°C になるように調節する。試料装入後約 4～5mn で完全に溶解する。このときを時間の起点とし、以後 1550°C に保ち、約 5mn ごとに黒鉛棒で攪拌しつつ還元を行なわせる。

銑鉄およびスラグの試料は 10 または 15mn ごとに



1. Furnace lid (Isolite)
 2. Opening
 3. Crucible lid (Graphite)
 4. Graphite crucible
 5. Alumina rest
 6. Graphite heating tube
 7. Molten slag
 8. Molten pig iron
 9. Protection tube
 10. Pt-Pt: Rh thermocouple
 11. Asbestos

Fig. 1. Schematic cross section of the apparatus.

Table 1. Compositions of slags studied.

No.	Composition(%)			CaO/SiO_2
	CaO	SiO_2	TiO_2	
1	48	37	15	1.297
2	43	42	15	1.024
3	37	48	15	0.771
4	31	54	15	0.574
5	42.5	32.5	25	1.307
6	41.5	33.5	25	1.239
7	38	37	25	1.027
8	32	43	25	0.744
9	27	48	25	0.562
10	36	29	35	1.241
11	35	35	35	0.857
12	24	41	35	0.585

採取する。試料採取にあたつては黒鉛棒で攪拌を行なつた後、まずスラグ試料を銅製の採取器に急冷付着させてとり、つぎに内径4mmの石英管を溶鉄中に差し込み、注射器により銑鉄試料を吸い上げる。試料採取量は銑鉄4~7g、スラグ1.5~2.5gであつた。銑鉄試料は表面をグラインダーで削り、-60メッシュに粉碎したものを、またスラグはめのう乳鉢で細粉にし、混入鉄粉を磁石で除いたものを分析に供した。分析は銑鉄はSiとTi、スラグはCaO、SiO₂、TiO₂（一部の試料についてはTi₂O₃についても分析したが、これについてはV.で述べる）について行なつた。

IV. 実験結果および考察

(1) 実験結果

本実験に使用したスラグはNo.5および9を除いては融点はすべて1500°C以下であり、一般にスラグの流動性は良好であつた。特に CaO/SiO_2 の高いほど、および TiO_2 の高くなるほど流動性は良くなる。しかし40~50mnになるとスラグは粘稠性を増してくる。還元反応に伴つてCOガスが盛に発生するが、この場合のスラグの泡立ちは塩基性スラグよりも酸性スラグの方が烈しかつた。

No.1, 4, 5, 6, 8, 10, 11, 12については擬平衡状態の存在を確認するために採取したすべての試料について化学分析を行なつたが、その他のものについては後述するように擬平衡状態の存在が初めから予想されたので一部の試料についてのみ分析した。

Fig. 2は TiO_2 15%の場合で、酸性スラグ（No.4）および塩基性スラグ（No.1）について銑鉄中のTiおよびSi含有量の時間変化を示したものである。[Ti]

および酸性スラグの場合の[Si]は時間とともにほぼ直線的に増加している。

Fig. 3は時間60

mnにおける[Ti]

および[Si]とス

ラグ組成との関係

を示したものであ

る。[Si]が $\text{CaO}/$

SiO_2 の高くなる

とともに減少して

いること、および

[Ti]が TiO_2 の

増加とともに高くな

つていることは

それぞれ SiO_2 、

TiO_2 の濃度変化

からみて当然であ

る。しかし同一の

CaO/SiO_2 でも

TiO_2 が増加すれ

ば SiO_2 は稀釈さ

れ、したがつて

[Si]が低くなるよ

うに予想される

が、実際には必ず

しもそなつてい

ない。また[Ti]

は同一の TiO_2 含

有量において

CaO/SiO_2 が高く

なるほど増加する

ような傾向もある

が、これも必ずしも明瞭ではない（註）。

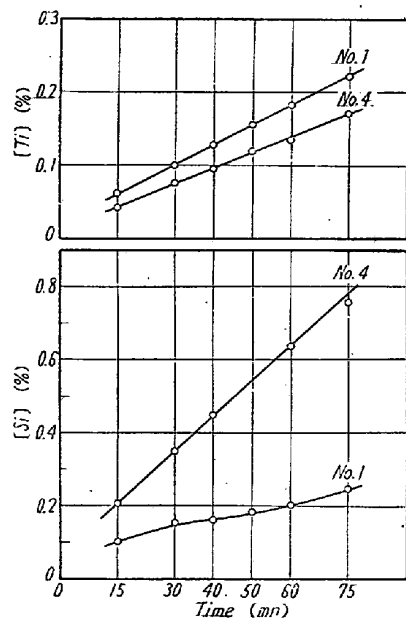


Fig. 2. Variations of the contents of titanium and silicon in the iron with lapse of time. (TiO_2 15%)

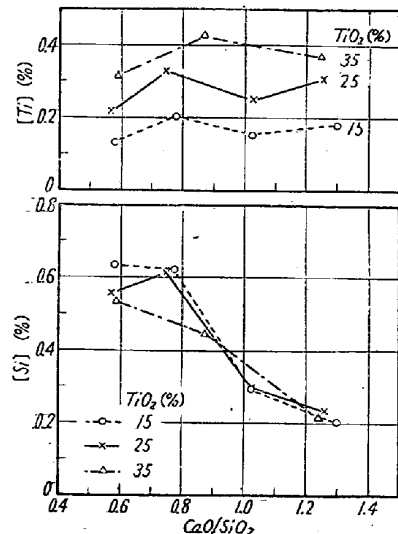


Fig. 3. Effect of slag composition on the contents of titanium and silicon in the iron at 60mn.

（註）Fig. 3において[Ti]は過飽和のものも含まれているものと思われるが、[Ti]が0.4%程度まではTi含有量と時間の関係にはいちじるしい異常変化はみられないから、還元進行度に関する量としてのTi含有量を示したものであるとみなせば差し支えない。

ためであり、これについては考察のところで述べる。

Fig. 4 は TiO_2 15%について $K_{Ti, Si}$ の時間による変化を示したものである。酸性スラグ (No. 4) では $K_{Ti, Si}$ ははやくから一定値を示しているのに対し、塩基性スラグ (No. 1) では $K_{Ti, Si}$ は 50~60mn 後に一定になる。

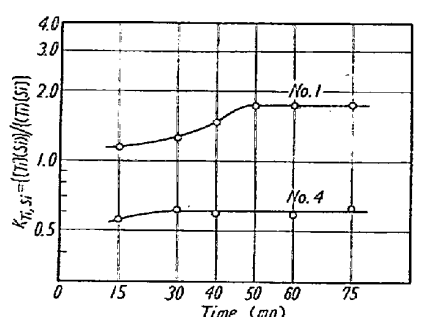


Fig. 4. Variation of $K_{Ti, Si}$ with lapse of time. (TiO_2 15%)

を行なわせ、できた銑鉄およびスラグを分析しているが、これによると $[Ti]$ は CaO/SiO_2 の高くなるとともに高くなっているが、 $[Si]$ と CaO/SiO_2 の間には何等明確な関係が得られていない。また Wentrup 等³⁾の実験結果で同一還元時間の Ti, Si の含有量とスラグ組成との関係にはばらつきが非常に大きいのも反応過程の複雑な状態に大きく影響されているものと思われる。

このようにして一定時間における Ti, Si の還元量とスラグ組成との関係が必ずしも明瞭でないのに対して、擬平衡状態の指数 $K_{Ti, Si}$ をとれば Fig. 5 のようにはつきりした関係が得られることはこの種の反応を取り扱う上にきわめて重要なことである。この点をはつきりさせないため、本来平衡論的な研究によつてのみ得られるような結論を出すあやまりをおかす場合も應々にしてみられる。

$K_{Ti, Si}$ とスラグ組成との関係を示した Fig. 5 は定性的には Wentrup ら³⁾の結論と一致しており、また $K_{Ti, Si}$ の値も同じ程度である。

$K_{Ti, Si}$ は近似的にスラグ中の Ti, Si の活量係数の比、すなわち $f(Ti)/f(Si)$ に比例する。したがつて Fig. 5 における $K_{Ti, Si}$ の変化はまた $f(Ti)/f(Si)$ の変化に対応している。著者¹¹⁾が最近明らかにしたように本実験のような CaO/SiO_2 のところでは CaO/SiO_2 一定で TiO_2 を増加するとスラグの塩基度は減少するが、これは Fig. 5 からわかるように $f(Ti)/f(Si)$ に対して CaO/SiO_2 の減少(増加)と (TiO_2) の増加(減少)が同じ意味の影響をもつていることを説明するものである。さらに、塩基度が増加すると $K_{Ti, Si}$ ないしは $f(Ti)/f(Si)$ が大きくなることは SiO_2 の酸性としての強さが TiO_2 よりも強い¹¹⁾ためである。

このようにして Fig. 5 で示された $K_{Ti, Si}$ とスラグ組成の関係は著者の求めたスラグの新しい塩基度によつて定性的に説明できたから、 CaO/SiO_2 の代りに新しい塩基度をとれば $K_{Ti, Si}$ はこの新しい塩基度のみの函数として表わされる可能性がある。著者の求めた $CaO-SiO_2-TiO_2$ 系の塩基度 (B) の実験式のうちの濃度に関する項、すなわち $(CaO)/\{(SiO_2) + f_T(TiO_2)\}$ を取り出し、これに対して $K_{Ti, Si}$ をプロットしたのが Fig. 6(a) である。さらに著者¹²⁾が提出した新しい塩基度の一般式 B_L を用いれば Fig. 6(b) が得られる。いずれも新しい塩基度を用いれば $K_{Ti, Si}$ と塩基度との関係は TiO_2 の濃度にかかわらず一つの線で示され、塩基度が高くなるほど $K_{Ti, Si}$ は大きくなることがわかる。

Faust の溶鉄炉の実験によると $K_{Ti, Si}$ は平均 4.35

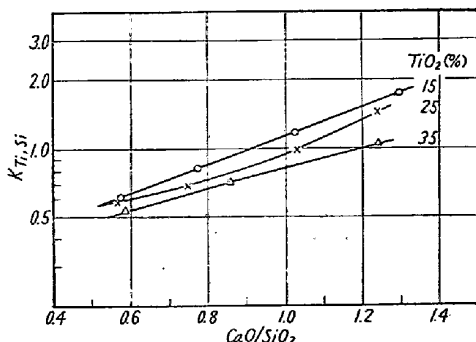


Fig. 5. Relation between the index number of the quasi-equilibrium state and slag compositions.

(2) 考察

Fig. 3 から知られるように反応速度がスラグの組成によつて必ずしも系統的に変化していないのは、理論的に厳密な速度論的研究でないことのほかに、反応系の状態が複雑であることを示すものである。これに関連したものとして、たとえば Oelsen, Maetz¹⁰⁾は黒鉛坩堝で酸化鉄、造渣剤およびコークスを混合加熱して還元反応

と与えられており、本実験の値と比べると非常に高い。この場合スラグは $\text{CaO}-\text{Al}_2\text{O}_3$ 系を主成分とするもので塩基度 B_L は 2.5 程度となり、したがつて Fig. 6 (b) からみて $K_{\text{Ti},\text{Si}}$ も当然高くなるはずである。実際に Fig. 6 (b)において曲線の代りに粗い近似として直線を引けば、 $B_L = 2.5$, $K_{\text{Ti},\text{Si}} = 4.35$ の点はこの直線の延長線の近くにくることがわかる。なお新しい塩基度の一般式

B_L はこのようにスラグを一般的な立場で取り扱う場合に特に有用であり、これによつてスラグを与えた場合にいかなる組成の銑鉄が得られるかの見当をつけることも可能である。

V. 含チタンスラグ中の Ti_2O_3 の挙動

今までスラグ中の酸化チタンをすべて TiO_2 の形のみとして結果を取り扱つたが、ここではさらに Ti_2O_3 の生成量を調べてみた。 Ti_2O_3 の分析はメタバナジン酸アンモン標準液の V^{5+} による逆滴定法を用いた。

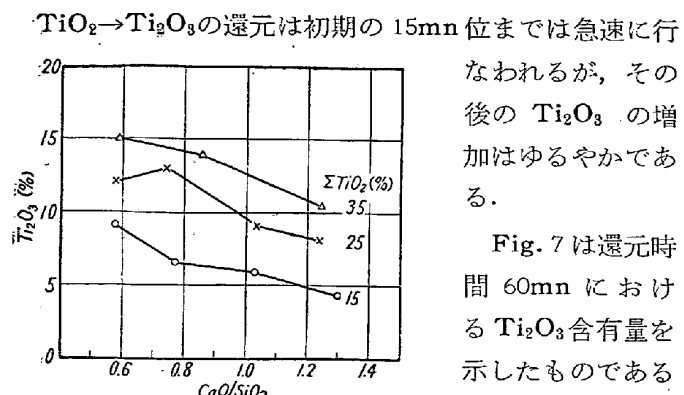


Fig. 7. Relation between the content of Ti_2O_3 in the slags and their compositions in reduction during 60mn.

なわれるが、その後の Ti_2O_3 の増加はゆるやかである。

Fig. 7 は還元時間 60mn における Ti_2O_3 含有量を示したものであるが、 (ΣTiO_2) 一定において CaO/SiO_2 の高いほど

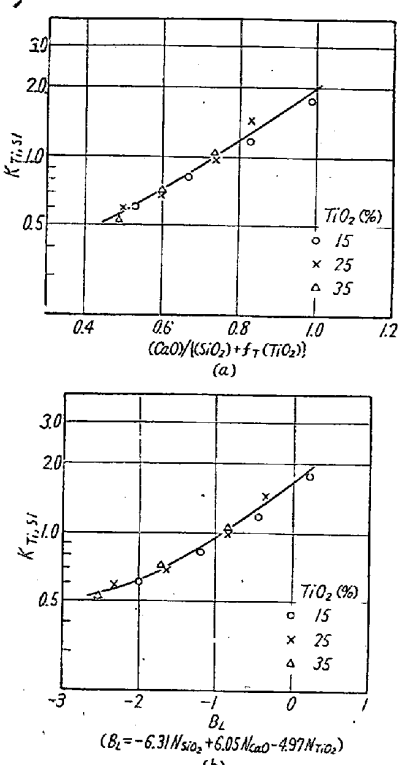


Fig. 6. Relation between the index number of the quasi-equilibrium state and slag basicity.

(Ti_2O_3) は低くなることがわかつた。

つぎにスラグのみを還元性の条件下で溶解させた場合にもこのような現象があるかどうかを確かめるために、 $\text{CaO}-\text{SiO}_2-\text{TiO}_2$ 系スラグをタンマン炉で黒鉛坩堝で溶解還元させた。温度を 1550°C に保ち、その間 15mnごとに銅製のスラグ試料採取器により試料をとつて Ti_2O_3 を定量した。Fig. 8 に時間による (Ti_2O_3) の変化を示した。ただし時間はスラグの完全溶解時を起点としたものである。 $(\Sigma \text{TiO}_2) 20\%$ および 30% とも塩基性スラグよりも酸性スラグの場合の方が

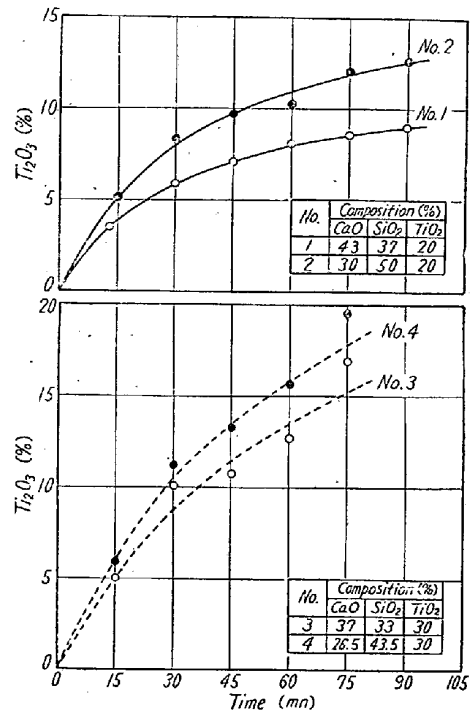
(Ti_2O_3) が高くなる。前述と同様現象がこの場合にもみられたわけであろう。

このようにしてスラグより銑鉄への Ti, Si の還元反応は TiO_2 , Ti_2O_3 の共存状態で進行するから (10) 式は厳密には

$$\{[\text{Ti}] / (\text{Ti})\}^n \{(\text{Si}) / [\text{Si}]\} = K'_{\text{Ti},\text{Si}} \dots \dots (11)$$

としなければならない。しかるにこの n は (Ti_2O_3) の変化に応じて変つてゆくから、本反応系ではスラグ-溶銑間での眞の意味の平衡は考えられず、(10)式はあくまで近似的なもので理論的には何等厳密ではない。

つぎにスラグの塩基度として B_L に Ti_2O_3 を考慮したものをとつてみる。 $N_{\text{Ti}_2\text{O}_3}$ の a としては等電点 (Bi) と陽イオン-酸素イオン間の引力の大きさを示す曲線¹¹⁾ から Ti^{3+} の $2Z/a^2 = 1.37$ に対する内挿値 1.5 をとる。 Ti_2O_3 含有量は同一のスラグでも時間により変化しているが、前述のようにその時間変化は小さいから、各スラグの $N_{\text{Ti}_2\text{O}_3}$ としては Fig. 7 の 60mn における値を用いた。このようにして求めた塩基度 B_L に対して $K_{\text{Ti},\text{Si}}$ をプロットしたのが Fig. 9 である。Fig. 6(b) と同じく $K_{\text{Ti},\text{Si}}$ と塩基度の関係は一つの曲線として示



された。なお Ti_2O_3 は TiO_2 よりも塩基性の質が強いから Ti_2O_3 を考慮した場合の B_L はそれだけ高い値になる。

前述のようにスラグの塩基度が低いほど Ti_2O_3 ができやすいことを示す全く別な例を述べておく。永広、御代¹³⁾は TiO_2 に各酸化物を加えた二元系の合成試料を還元性の条件下で電溶した場合の TiO_2 の還元度の差異を調べているが、それによると CaO , MgO , Al_2O_3 , SiO_2 の順に Ti 低級酸化物ができやすくなっている。一方各酸化物の塩基としての強さ(酸としての強さ)はこの順に減少(増加)するから、この結果も全く本実験の結果と一致するところである。

また著者¹¹⁾の新しく定義した塩基度はスラグ中の Fe^{2+} , Fe^{3+} の濃度が塩基度より規則的に変化することを用いたものであるし、また含クロム高炉スラグ中の Cr^{2+} , Cr^{3+} についても同じことが松下¹⁴⁾によりみいだされている。かくして“ Fe , Cr , Ti のような多原子価遷移金属の酸化物では酸素分圧が一定の場合にはスラグの塩基度が高くなるほど多価の陽イオンが多くなる”といいう一般則が確立された。

高チタンスラグの製造実験において CaO を加えたスラグでは Ti_2O_3 が非常に少なくなることが大八木等¹⁵⁾によりみいだされているが、これも上述のことから説明できる。

砂鉄製錬の実際操業で塩基度を広い範囲に変えた場合は塩基度によって Ti_2O_3 の生成に差異を生ずるはずであるが、實際には $TiO_2 \rightarrow Ti_2O_3$ の還元には還元進行度すなわち(FeO)の影響がより大きいものと思われる。

VI. 実際の製錬反応の考察

以上述べた還元実験の結果はもちろん實際の製錬反応にそのままあてはめることはできないが、本研究で示された還元反応に対する考え方は實際上重要である。すなわち各成分の還元反応は相互に無関係に進行するのではなく、お互に干渉しつつ進行する。この相互干渉ないしはcouplingが一番大きいのはスラグと溶銑が擬平衡状態を保つ場合である。還元はたえずこの状態に近づくよ

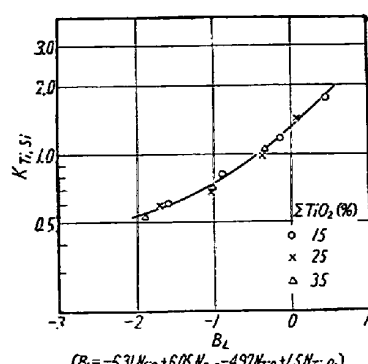


Fig. 9. Relation between the index number of the quasi-equilibrium state and slag basicity B_L .

うに進行する。実際に砂鉄の電気炉製錬では(FeO), [Si], [Ti], [Mn]の間には高度に有意な相関関係があり、また[S]と(FeO), [Si], [Mn]の間にも相関関係がある。

Fig. 10 は $K_{Ti, Si}$ をスラグの塩基度 B_L に対してプロットしたものであるが、實際操業ではスラグの組成変動が少く、 B_L がかなり狭い範囲にはいつ

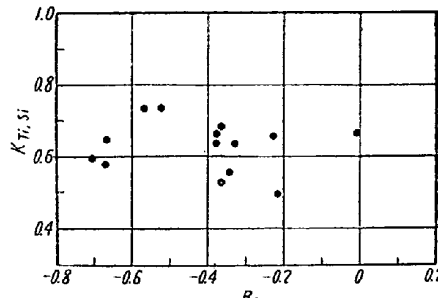


Fig. 10. Plots of $K_{Ti, Si}$ against slag basicity B_L for the titaniferous iron sand smelting.

ており、この図の B_L の範囲では $K_{Ti, Si}$ の有意な変化は現われておらず、 $K_{Ti, Si}$ は一定とみなすことができる。Fig. 10 以外のデータも一緒にして $K_{Ti, Si}$ の平均値としてつぎの値が得られた。

$$K_{Ti, Si} = 0.658 \quad (\sigma = 0.097) \quad \dots \dots \dots \quad (12)$$

實際操業において還元反応が相互に干渉しつつ進行するということは、反応の進行途中で炉内の種々の条件が組み合はざつたある還元進行度が規定され、これが各成分に共通なものとして還元反応を支配することである。したがつて還元反応では一成分のみを単独に取り出して考えるべきではなく、多くの成分の同時反応の coupling を考えるべきであろう。実際に砂鉄の電気炉製錬では還元進行度をある程度以下に抑えて TiO_2 の還元を抑制するようにしている。そのために(FeO)が高く、[Si]が低い結果になつたものと解される。

つぎに脱硫であるが、砂鉄の電気製錬では(S)/[S]は5~15で含チタンスラグの脱硫力はあまり大きくない。これはスラグの塩基度が低いこと($B_L=0 \sim -1$)と還元進行度が低くスラグ中の(FeO)が高いためであり、これについては別の報告¹²⁾で述べた。

VII. 結 言

本研究を要約すればつぎのようになる。

(1) 含チタンスラグ—溶銑間の還元反応は平衡論的実験が困難であり、したがつて二つ以上の反応をcouplingさせ、反応進行途中の擬平衡状態を取り扱わなければならない。

(2) $CaO-SiO_2-TiO_2$ 系スラグ(TiO_2 15, 25, 35%; CaO/SiO_2 0.5~1.3)から溶銑への Ti および Si の

還元反応の実験を 1550°C で行ない、擬平衡状態の存在を確認することができた。

(3) 一定還元時間 (60mn) においては $[\text{Ti}]$, $[\text{Si}]$ とスラグ組成との間には必ずしも明瞭な関係は示されなかつたが、擬平衡状態の指数をとればそれが明らかになり、 CaO/SiO_2 が高くなるほど、また (TiO_2) が低くなるほど $K_{\text{Ti}, \text{Si}}$ は大きくなる。

(4) 塩基度として $(\text{CaO})/\{(\text{SiO}_2) + f_T(\text{TiO}_2)\}$ および B_L を用いると $K_{\text{Ti}, \text{Si}}$ と塩基度の関係は一つの曲線で示され、塩基度が高くなるほど $K_{\text{Ti}, \text{Si}}$ は大きくなることがわかつた。

(5) 一定の (ΣTiO_2) において CaO/SiO_2 が高くなるほど (Ti_2O_3) は減少する。 (Ti_2O_3) を考慮した塩基度 B_L を用い、前項と同じように $K_{\text{Ti}, \text{Si}}$ と B_L の関係を表わすことができた。

(6) $\text{Fe}, \text{Cr}, \text{Ti}$ のような多原子価遷移金属の酸化物では酸素分圧が一定の場合にはスラグの塩基度が高くなるほど多価の陽イオンが多くなるという一般則が確立された。

(7) 実際の電気炉製錬反応を考察し、各成分の還元は炉内の状況によって規定される全体としての還元進行度によつて支配されるという製錬の基礎理念を明らかにすることことができた。

終りに本研究は当時学生だつた生田目真君、宮田守次君および元田鉄也君の熱心な助力によるところ大きく、同君等に感謝する。また絶えず御指導、御鞭撻をいただいた東京大学松下幸雄先生に厚くお礼を申し上げる。な

お本研究の一部は文部省科学研究費交付金によつてなされたことを付記して感謝の意を表する。

(昭和 34 年 12 月寄稿)

文 献

- 1) E. Faust: Arch. Eisenhüttenw., 12 (1938~39) 361
- 2) P. Mehta, V. G. Paranjpe: Indian Inst. Metals, 10 (1956~57) 51
- 3) H. Wentrup, H. Maetz, P. Heller: Arch. Eisenhüttenw., 20 (1949) 139
- 4) S. Ramachandran, T. B. King, N. J. Grant: J. Metals, 8 (1956) 1549
- 5) C. W. McCoy, W. O. Philbrook: Trans. Met. Soc., Amer. Inst. Min., Met & Pet. Eng., 212 (1958) 226
- 6) E. Houdremont: Stahl u. Eisen, 58 (1938) 1185
- 7) F. D. Delve: Trans. Met. Soc., Amer. Inst. Min., Met & Pet. Eng., 212 (1958) 183
- 8) H. L. Bishop: Trans. Met. Soc., Amer. Inst. Min., Met & Pet. Eng., 215 (1959) 171
- 9) R. C. Devries, R. Roy, E. F. Osborn: J. Amer. Ceram. Soc., 38 (1955) 158
- 10) W. Oelsen, H. Maetz: Arch. Eisenhüttenw., 16 (1943) 283
- 11) 森: 鉄と鋼, 46 (1960) 466
- 12) 森: 昭和 34 年 11 月日本金属学会講演会にて発表、同学会誌に投稿中
- 13) 永広、御代: 旭硝子研究報告, 5 (1955) 136
- 14) 松下: 鉄と鋼, 42 (1956) 945
- 15) 大八木、四津井、長谷川: 電気化学, 22 (1954) 458